

Detekcia Akustického Prostredia z Reči

Matúš Dobrotka*



Abstrakt

Téma tejto práce je klasifikácia audio nahrávky do 15 tried. Článok popisuje 2 metódy založené na GMM a i-vectoroch a ich vzájomnú fúziu. Na dátach zo súťaže DCASE dosiahol najlepší GMM systém úspešnosť 59% a i-vector systém 68%. Fúzia týchto dvoch systémov výsledok ešte zlepšila na 69%, čo by v dobe súťaže stačilo na 20. miesto z 97 odovzdaných systémov z celého sveta.

Kľúčové slová: detekcia akustického prostredia — GMM — i-vector — fúzia

Priložené materiály: N/A

*xdobro12@stud.fit.vutbr.cz, Faculty of Information Technology, Brno University of Technology

1. Úvod

Zvuk nesie obrovské množstvo informácie o našom každodennom prostredí a tiež o fyzikálnych udalostiach, ktoré sa v ňom uskutočňujú. Môžme vnímať prostredie, v ktorom sa nachádzame (napríklad preplnená ulica, kancelária,...) a tiež rozpoznávať jednotlivé zdroje zvukov (auto prechádzajúce okolo, kroky ľudí, apod.).

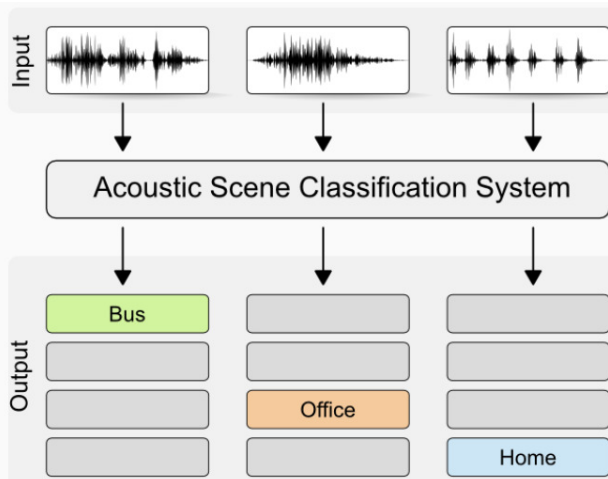
Vývoj metód spracovania signálu, ktoré sú schopné automaticky extrahovať tieto informácie, má preto obrovský potenciál pre rôzne aplikácie. Môže sa jednať napríklad o vyhľadávanie multimédií založené na ich audio obsahu, vytváranie kontextových mobilných zariadení, robotov, automobilov,... a tiež inteligentné monitorovacie systémy rozpoznávajúce činnosti v ich okolí využitím akustických informácií. Vzhľadom ale k tomu, že táto oblasť ešte nie je na takej úrovni, že by bolo možné spoľahlivo rozpoznávať zvukové prostredia a jednotlivé zdroje zvuku v realistickej zvukovej palete, kde počuť viaceré zvuky a často súbežne a tiež skreslené prostredím, je ešte potrebné značné množstvo výskumu. Aj preto som sa rozhodol venovať práve tejto téme. Téma vychádza zo zadania medzinárodnej

súťaže *DCASE Challenge*, ktorá je popísaná v nasledujúcej kapitole.

Cieľom tejto práce je vytvoriť systém schopný klasifikovať testovaciu nahrávku do jednej z 15 preddefinovaných tried, ktoré charakterizujú prostredie, kde bola nahrávka nahratá. Výstižne takýto systém popisuje obrázok 1.

Jedná sa o týchto 15 prostredí:

- Autobus
- Kaviareň/reštaurácia
- Auto
- Centrum mesta
- Lesná cesta
- Obchod s potravinami - obchod strednej veľkosti
- Obydlie/dom
- Pláž pri jazere
- Knižnica
- Metro stanica
- Kancelária - viacero osôb, typický pracovný deň
- Sídlisko/obytná oblasť
- Vlak
- Električka
- Mestský park



Obrázok 1. Prehľad systému pre klasifikáciu akustického prostredia [1]

2. DCASE challenge

Týmto pojmom sa označuje celosvetová súťaž organizovaná fínskou výskumnou skupinou zameranou na audio z Technickej Univerzity v Tampere. Úplný názov súťaže je *Detection and Classification of Acoustic Scenes and Events*. Vznikla už v roku 2013 s cieľom zvýšiť vývoj v oblasti analýzy zvukov z prostredí, v ktorých sa bežne nachádzame. A to porovnávaním rozličných prístupov za použitia spoločného verejne dostupného datasetu a rovnakej vyhodnocovacej metriky.

Po úspešnom úvodnom ročníku došlo v tejto súťaži k dvojročnej prestávke a v roku 2016 organizátori znova obnovili jej priebeh. Tretí a zároveň zatial posledný ročník sa uskutočnil v roku 2017. Súťaž ako taká obsahuje 4 úlohy a zúčastniť sa jej môže ktokoľvek bez ohľadu na to, či sa rozhodne riešiť iba jednu úlohu, alebo viacero z nich. Každá z týchto úloh je nezávislá, všetky úlohy sú vyhodnocované samostatne.

Táto práca je inšpirovaná prvou z úloh, ktorej názov je *Detekcia akustického prostredia*, pričom som sa sústredil na ročník 2017. Obrázok 2 ukazuje kompletne výsledky zúčastnených tímov a ich systémov. Môžeme vidieť, že baseline systém, ktorý bol uvoľnený autormi súťaže, dosahoval úspešnosť na evaluačných dátach 61% a najlepší systém až 83%.

2.1 Prehľad výskumu

Účastníci súťaže z roku 2017 vo svojich článkoch opisujú metódy a postupy, ktorými sa rozhodli túto úlohu riešiť. Pre aktuálny prehľad uvádzam najlepšie z nich.

Na čele tejto súťaže stojí tím prevažne kórejských autorov, ktorých finálny systém pozostáva z fúzie 2

podsstémov. Podrobne to popisujú vo svojom článku [3]. Hlavnou myšlienkom ich riešenia bolo rozšírenie dátovej sady pomocou metódy *Generative Adversarial Networks (GAN)*, s ktorou celý systém natrénovali. Ďalej použili *Support Vector Machine (SVM)* pre selekciu príznakov. Ako klasifikátor zvolili v prvom prípade *Fully Connected Neural Network (FCNN)* a v druhom prípade SVM. Oba tieto systémy sa podieľali na výslednej fúzii systémov, ktorou dosiahli úspešnosť 83.3%.

Konvolučné neurónové siete sa rozhodli použiť Y.Han, J.Park a K.Lee, pričom vo svojom článku [4] uvádzajú, aké rôzne metódy predspracovania signálu využili. Tento tím zostavil 4 rôzne systémy, s ktorými dosiahol úspešnosť 79.6% – 80.4% a obsadil tak 2., 3., 4. a 5. miesto v celkovom hodnotení súťaže.

Aj ďalší tím v poradí založil svoj systém na konvolučnej neurónovej sieti. Podľa toho, čo autori píšu vo svojom článku [5], špecifikum tohto riešenia je metóda fúzie štandardného spektrogramu a *Constant-Q-Transform (CQT)* spektrogramu. Na to, aby mohli byť navzájom sfúzované príznaky týchto spektrogramov, sú navrhnuté dva fúzovacie mechanizmy - tzv. *voting* a *SVM* metódy. Lepšia z nich - fúzia založená na SVM metóde - obsadila 6.miesto v celkovom poradí s úspešnosťou 77.7%, 7.miesto patrí fúzii na základe voting metódy, ktorá získala 74.8%.

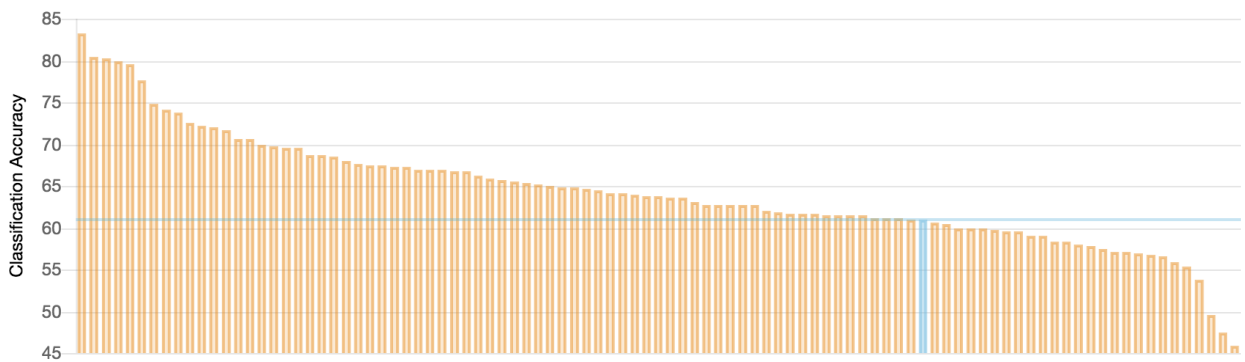
Štvrtý tím v poradí [6] zostavil viaceré systémy, ktorých fúzia priniesla úspešnosť 74.1% a 8.miesto v celkovom poradí. Navrhli systémy založené na konvolučných neurónových sieťach (CNN), systémy založené na CNN super vektoroch s klasifikátorom PLDA, systém založený na GMM super vektoroch a systém doprednej neurónovej siete so súborom akustických príznakov. Vo svojom článku [6] neuviedli úspešnosti jednotlivých subsystémov, iba úspešnosť fúzovaných systémov.

Tím z rakúskej univerzity v Linzi [7], ktorý vyhral súťaž v roku 2016, obsadil 9.miesto s úspešnosťou 73.8% na evaluačných dátach s fúziou i-vector systému a konvolučnej neurónovej siete. Okrem fúzie tento tím odovzdával aj samostatný i-vector systém, ktorý dosiahol 68.7% a obsadil 20.miesto v celkovom poradí.

3. Teoretický základ

Vo svojej práci používam k riešeniu dva prístupy, pričom oba využívajú MFCC príznaky:

1. **Gaussovský klasifikátor** – pre každú triedu sa natrénuje GMM (*popis GMM v nasledujúcej kapitole*), pri vyhodnotení zistujeme ako GMM danej triedy pasuje na testovaciu nahrávku



Obrázok 2. Graf výsledkov zúčastnených systémov súťaže DCASE 2017 [2]. Modrý stĺpec znázorňuje baseline systém poskytnutý autormi súťaže.

130 2. **i-vector** – je nízkorozmerný popis celej nahrávky,
131 ktorý je klasifikovaný Gaussovským klasifikáto-
132 rom (jedna Gaussovka pre triedu)

159 pre každú triedu. Tento jednoduchý lineárny klasi-
160 fikátor sa dá použiť na klasifikáciu i-vectorov i na
161 fúzii niekoľkých systémov.

133 3.1 Gaussian Mixture Model

134 V úlohách zaoberejúcich sa automatickým rozpoz-
135 naním reči sa rozloženie akustických príznakových
136 vektorov modeluje často pomocou zmesi Gaussovských
137 (normálnych) rozložení (*angl. Gaussian Mixture Mod-*
138 *els - GMM*). Táto zmes predstavuje model tvorený
139 váženou kombináciou Gaussovských rozložení charak-
140 terizovaných určitou vähou, vektorom stredných hodnôt
141 a kovariančnou maticou, ako píše aj Ing. Jan Silovský
142 vo svojej práci [8].

143 3.2 i-vector

144 i-vector predstavuje elegantný spôsob transformácie
145 viac dimenzionálnych vstupných dát na menej dimen-
146 zionálny vektor príznakov, pričom zachováva väčšinu
147 pôvodnej informácie [9]. Táto technika bola pôvodne
148 inšpirovaná frameworkom *Joint Factor Analysis*, ktorý
149 bol uvedený v [10].

Hlavnou myšlienkom je, že GMM supervektor s , ktorý zreťazuje GMM vektory stredných hodnôt, môže byť modelovaný nasledovne:

$$s = m + Tw \quad (1)$$

150 kde m je supervektor stredných hodnôt modelu
151 UBM GMM, T je matica reprezentujúca bázy spájajúce
152 podpriestor s dôležitou variabilitou v priestore super-
153 vektoru stredných hodnôt, a w je viazaná premenná so
154 štandardnou normálnou distribúciou.

155 3.3 Lineárny Gaussovský klasifikátor

156 Vektory vypovedajúce o úrovni skóre (napríklad i-
157 vectory) sú modelované tak, že majú zdieľanú ko-
158 varianciu cez všetky triedy a zvlášť meany/priemery

162 4. Dataset TUT Acoustic scenes 2017

163 Pre túto úlohu je určený dataset *TUT Acoustic scenes*
164 2017. Obsahuje nahrávky z rozličných akustických
165 prostredí, pričom každá z nich bolo nahrávaná v inej
166 lokalite. Jedná sa o 15 rôznych akustických prostredí,
167 ktoré boli spomínané v úvodnej kapitole. Audio dátá
168 boli nahrávané ako stereo so vzorkovacou frekvenciou
169 44.1kHz a s 24bitovou presnosťou.

170 Pôvodné 3-5 minútové nahrávky autori rozdelili na
171 10 sekundové segmenty. Každý segment predstavuje
172 osobitný súbor. Dataset sa skladá z dvoch časťí:

- **Development dataset** - pozostáva z 312 seg-
173 mentov pre každé z 15 prostredí, čo je 52 minút
174 audia.
- **Evaluation dataset** - obsahuje nahrávky z rov-
175 nakých prostredí, no z iných geografických loka-
176 lít. Pre každé prostredie je k dispozícii 108 seg-
177 mentov, čo je 18 minút audia.

178 Development dataset dohromady obsahuje 13 hodín
179 audio nahrávok v 4680 segmentoch (súboroch). V tejto
180 práci som ho použil na trénovanie GMM systému a
181 i-vector systému.

182 Evaluation dataset pozostáva zo 4 hodín a 30 minút
183 audia rozdeleného do 1620 segmentov (súborov). Tento
184 dataset je použitý na reportovanie výsledkov.

187 5. Experimenty

188 V tejto kapitole uvádzam všetky experimenty, ktoré
189 som v tejto práci vykonal. Budú spomínané tak nas-
190 tavenia jednotlivých systémov ako aj ich výsledky.
191 Týka sa to GMM systému, i-vector systému a taktiež
192 fúzie týchto dvoch systémov.

193 Hlavné experimenty skúmajú nastavenie MFCC
 194 koeficientov, vzorkovacej frekvencie signálu a veľkosti
 195 klasifikátorov (počet Gaussovieck a veľkosť i-vectoru)
 196 a ich vplyv na výslednú úspešnosť systému.

197 5.1 GMM

198 Táto kapitola popisuje experimenty s nastavením prízna-
 199kov a parametrov GMM systému samotného, ktoré
 200 mohli ovplyvniť úspešnosť finálneho systému:

- Počet Gaussovieck
- Počet MFCC koeficientov
- Normalizácia MFCC koeficientov
- Nultý MFCC koeficient (C0)
- Delta a doubledelta koeficienty
- Vzorkovacia frekvencia signálu

201 Vplyv počtu Gaussovieck na úspešnosť systému zo-
 202 brazuje tabuľka 1. Najlepší výsledok dosiahol systém
 203 pri 128 Gaussovákach a preto v ďalších experimentoch
 204 figuruje práve tento počet Gaussovieck.

211 **Tabuľka 1.** Vplyv počtu Gaussovieck na úspešnosť
 systému

Počet Gaussovieck	1	2	4	8	16	32	64	128	256
Úspešnosť [%]	40	43	43	43	44	44	44	45	44

212 Ďalším skúmaným parametrom bol počet MFCC
 213 koeficientov. Tabuľka 2 zobrazuje výsledky tohto ex-
 214 perimentu. Najlepšie sa ukázalo použitie 19 a 20
 215 MFCC koeficientov. Do ďalších experimentov som
 216 teda bral do úvahy 20 MFCC koeficientov.

217 **Tabuľka 2.** Vplyv počtu MFCC koeficientov na
 úspešnosť systému.

Počet koeficientov	4	7	8	11	12	15	16	19	20	23
Úspešnosť [%]	37	39	40	43	44	44	44	45	45	44

218 Ďalší experiment odzrkadľuje vplyv normalizácie
 219 MFCC koeficientov na úspešnosť systému. Detail-
 220 nejšie výsledky možno nájsť v tabuľke 3. Ako z tabuľky
 221 vyplýva, najlepšie sa v tomto prípade java koeficienty,
 222 ktoré nie sú normalizované. Preto v ďalších pozorova-
 223 niach uvažujem práve nenormalizované koeficienty.

224 **Tabuľka 3.** Vplyv normalizácie MFCC koeficientov

Normalizácia	Úspešnosť [%]
Mean	33
Mean a variance	34
Žiadna	45

225 Zahrnutie, resp. nezahrnutie nultého MFCC ko-
 226 eficientu taktiež patrí k parametrom, ktoré môžu ov-
 227 plynvíť úspešnosť systému. Informácie o tomto exper-
 228 imente obsahuje tabuľka 4. Najúspešnejšie sa v tomto
 229 prípade ukázalo zahrnutie nultý koeficient C0, a preto
 230 nasledujúce experimenty nultý koeficient obsahujú.
 231

Tabuľka 4. Vplyv nultého koeficientu na úspešnosť
 systému

Nultý koeficient	Úspešnosť [%]
Bez C0	45
C0	54
E (energia)	45

232 Nasleduje experiment, ktorý sleduje vplyv odvo-
 233 dených koeficientov - tzv. *delta a doubledelta koe-
 234 ficientov* na úspešnosť systému. Z tabuľky 5 možno
 235 vyvodíť, že v prípade zahrnutia aj delta aj doubledelta
 236 koeficientov systém dosahuje najlepšie výsledky.
 237

Tabuľka 5. Vplyv priamych (P), delta (D) a
 doubledelta (A) koeficientov

Koeficienty	Úspešnosť [%]
P	54
P + D	56
P + D + A	56

238 Záverečným experimentom v prípade GMM sys-
 239 tému bolo sledovanie vplyvu vzorkovacej frekvencie
 240 signálu na úspešnosť systému. Z tabuľky 6 sa javí na-
 241 jlepšie vzorkovacia frekvencia 16000 Hz.
 242

Tabuľka 6. Vplyv vzorkovacej frekvencie signálu

Vzorkovacia frekvencia [Hz]	Úspešnosť [%]
8000	56
16000	59
44100	57

243 Tento systém dosiahol úspešnosť 59% a je to GMM
 244 systém, s ktorým som dosiahol najvyššiu úspešnosť.
 245 Baseline systém súťaže z roku 2016 bol založený tiež
 246 na GMM, pri použití datasetu z roku 2017 bola jeho
 247 úspešnosť 52% na evaluačných dátach.

5.2 i-vector

248 Na základe skúseností z GMM klasifikátorov, ktoré
 249 sú popísané v predchádzajúcej kapitole, som sa po
 250 niekoľkých experimentoch ustánil na nasledujúcom
 251 nastavení extrakcie príznakov a predspracovaní:
 252

- 24 MFCC koeficientov + nultý koeficient C0

254	• Včetne delta koeficientov	282
255	• 32 Mel-filter báňk	283
256	• Vzorkovacia frekvencia nahrávok 16 kHz	

S týmto nastavením som zisťoval závislosť veľkosti GMM a i-vectoru a sledoval úspešnosť systému. Vzhľadom na to, že je k dispozícii málo trénovacích dát (v rámci pravidiel súťaže), snažím sa najst' bod, v ktorom sa systém začne pretrénovať.

Detailné výsledky sú v tabuľke 7. Najlepšie sa javí počet Gaussoviiek okolo 512 a väčší rozmer i-vectorov – pre 400 dosahuje najlepších výsledkov 68%. S vyšším počtom Gaussoviiek sa úspešnosť znižuje, čo znamená, že systém je už pretrénovaný z dôvodu nedostatku trénovacích dát. Najlepšie umiestnený tím súťaže, ktorý sa venoval tiež i-vector systému[7] dosiahol úspešnosť 68.7%, z čoho môžme usúdiť, že úspešnosť tu popisaného i-vector systému sa líši len minimálne.

Tabuľka 7. Úspešnosť i-vector systému [%] vzhľadom na počet Gaussovských rozložení a dimenzionalitu i-vectoru.

Počet Gaussoviiek	Rozmer i-vectoru		
	100	200	400
32	64.75	62.72	61.73
64	65.43	65.43	63.33
128	65.68	66.42	66.42
256	65.93	66.54	66.98
512	64.63	67.90	68.27
1024	64.44	65.62	66.11
2048	64.82	64.63	64.75

5.3 Fúzia

Na záver som uskutočnil fúziu najlepšieho GMM systému a najlepšieho i-vector systému použitím Gaussovského lineárneho klasifikátoru. Porovnanie úspešnosti týchto systémov sa nachádza v tabuľke 8.

Tabuľka 8. Úspešnosť najlepších systémov z predošlých 2 kapitol a ich vzájomnej fúzie.

Systém	Úspešnosť [%]
GMM	59
i-vector	68.27
GMM + i-vector	69.01

Fúzia sa prejavila zvýšením úspešnosti systému na 69.01%, prekonala vyvinutý i-vector systém, čo potvrduje jej pozitívny vplyv. Toto zvýšenie úspešnosti však nebolo až tak významné, pretože je medzi jednotlivými systémami príliš veľký rozdiel v úspešnosti. GMM systém má značne nižšiu úspešnosť oproti

i-vector systému na to, aby v tejto fúzii výraznejšie pomohol.

Tabuľka 9 zobrazuje confusion maticu, ktorá detailnejšie popisuje chovanie tohto systému. Môžme vidieť, že systém si dokázal najlepšie poradiť s triedami *pláž*, *obydlie/dom* a *stanica metra*, ktoré dokázal klasifikovať len s minimálnou chybou. Naopak najväčší problém mal systém s triedami *autobus*, *knižnica*, *park* a *električka*. *Sídisko* si často plietol s *parkom*, *obchod* s *potravinami* si systém neraz splietol s *autobusom*. *Stanica metra* bola viackrát zamotaná s *obchodom* s *potravinami* alebo s *kaviarňou*. Ako *obydlie/dom* boli často klasifikované nahrávky z *knižnice* a *kanclárie*, čo nasvedčuje, že systém sa zameriaval viac na pozadie nahrávok, ktoré bolo v týchto prípadoch veľmi podobné.

6. Záver

V tejto práci som implementoval systém pre klasifikáciu akustického prostredia z audio nahrávky. Použil som dva prístupy: GMM systém a i-vector systém. Okrem toho som na záver vytvoril fúziu najlepšieho GMM systému a i-vector systému.

Baseline systém súťaže DCASE 2017 dosiahol úspešnosť 61%. Môj najlepší systém, ktorým bola spomínaná fúzia, dosiahol 69%, čo by znamenalo umiestnenie na 20.mieste spomedzi 97 odovzdaných systémov, ktoré sa súťaže zúčastnili.

Na základe prehľadu najlepších systémov som zistil, že autori týchto systémov často fúzovali svoje systémy s neurónovými sieťami a preto by ďalším krokom tejto práce mohla byť práve implementácia systému založeného na neurónovej sieti a následná fúzia s už existujúcim napr. i-vector systémom.

Podakovanie

Rád by som podčakoval vedúcemu mojej práce, Pavlovi Matějkovi, za všetok jeho čas, za jeho priateľský a ľudský prístup a za všetky cenné rady a postrehy, ktoré mi poskytol.

Literatúra

- [1] T. Heittola et al. *Detection and Classification of Acoustic Scenes and Events 2016*. [Online; navštívené 15.03.2018].
- [2] T. Heittola et al. *Detection and Classification of Acoustic Scenes and Events 2016*. [Online; navštívené 15.03.2018].
- [3] Seongkyu Mun, Sangwook Park, David Han, and Hanseok Ko. Generative adversarial network based acoustic scene training set augmentation

Tabuľka 9. Confusion matica najlepšieho systému, t.j. fúzie najlepšieho i-vector a GMM systému, ktorý dosiahol úspešnosť 69.01% na evaluačných dátach. Riadky predstavujú skutočné návestia a stĺpce reprezentujú návestia predpovedané systémom.

	Pláž	Bus	Kavi	Auto	Cent	Les	Potr	Dom	Kniž	Metr	Kanc	Park	Sídlo	Vlak	Elek
Pláž	92	0	1	0	0	0	0	0	0	0	0	6	9	0	0
Autobus	0	53	1	6	0	0	28	0	0	13	0	3	1	2	1
Kaviareň	0	0	81	0	0	0	6	0	0	20	0	1	0	0	0
Auto	0	2	0	80	0	0	1	0	0	0	0	0	0	0	25
Centrum mesta	2	0	0	0	90	0	0	0	0	2	0	10	3	1	0
Lesná cesta	1	0	0	0	0	90	0	0	0	0	0	10	7	0	0
Potraviny	0	0	3	0	1	0	74	2	0	28	0	0	0	0	0
Obydlie/Dom	0	0	1	0	0	1	0	99	0	2	2	2	1	0	0
Knižnica	0	0	0	0	0	13	1	22	51	19	2	0	0	0	0
Stanica metra	0	0	4	0	0	2	0	0	0	97	3	2	0	0	0
Kancelária	0	0	0	0	0	18	0	24	0	0	66	0	0	0	0
Park	0	0	1	0	2	3	20	0	0	7	0	42	33	0	0
Sídlisko	0	0	1	0	14	10	0	0	0	1	0	2	80	0	0
Vlak	0	5	0	0	3	0	0	0	3	5	0	0	0	69	23
Električka	0	3	10	0	3	0	22	0	0	16	0	0	0	0	54

330 and selection using SVM hyper-plane. Technical
331 report, DCASE2017 Challenge, September 2017.

332 [4] Yoonchang Han and Jeongsoo Park. Con-
333 volutional neural networks with binaural rep-
334 resentations and background subtraction for
335 acoustic scene classification. Technical report,
336 DCASE2017 Challenge, September 2017.

337 [5] Zheng Weiping, Yi Jiantao, Xing Xiaotao, Liu Xi-
338 angtao, and Peng Shaohu. Acoustic scene classi-
339 fication using deep convolutional neural network
340 and multiple spectrograms fusion. Technical re-
341 port, DCASE2017 Challenge, September 2017.

342 [6] Rakib Hyder, Shabnam Ghaffarzadegan, Zhe
343 Feng, and Taufiq Hasan. BUET bosch consor-
344 tium (B2C) acoustic scene classification systems
345 for DCASE 2017. Technical report, DCASE2017
346 Challenge, September 2017.

347 [7] Bernhard Lehner, Hamid Eghbal-Zadeh,
348 Matthias Dorfer, Filip Korzeniowski, Khaled
349 Koutini, and Gerhard Widmer. Classifying short
350 acoustic scenes with I-vectors and CNNs: Chal-
351 lenges and optimisations for the 2017 DCASE
352 ASC task. Technical report, DCASE2017
353 Challenge, September 2017.

354 [8] Jan Silovský. Generativní a diskriminativní
355 klasifikátory v úlohách textově nezávislého
356 rozpoznávání a diarizace mluvčích. Technical
357 report, Technická univerzita v Liberci, November
358 2011.

359 [9] David González Martínez, Oldřich Plchot,
360 L. Burget, O. Glembek, and P. Matějka. Lan-

guage recognition in iVectors space. In *Proceed- 361
ings of Interspeech 2011*, pages 861–864, 2011. 362

[10] P. Kenny, G. Boulian, P. Oullet, and P. Du- 363
mouchel. Joint factor analysis versus eigenchan- 364
nels in speaker recognition. *IEEE Transactions 365
on Audio, Speech, and Language Processing*, 366
15(7):2072–2084, 2007. 367